



Marcel
Mangel

Sebastian
Bicchi

Praktische Einführung in

Hardware Hacking

Sicherheitsanalyse und Penetration Testing
für IoT-Geräte und Embedded Devices

Inhaltsverzeichnis

	Vorwort	9
	Einleitung	11
	Über die Autoren	15
	Danksagungen	17
1	Vorbereitung	19
1.1	Organisatorische Vorbereitungen	19
1.2	Grundlegender Ablauf des Penetration Tests	20
1.3	Das Labor	24
1.4	Werkzeuge	26
1.4.1	Labornetzgerät	26
1.4.2	Multimeter	29
1.4.3	Computer	32
1.4.4	Oszilloskop	32
1.4.5	Logic Analyzer	32
1.4.6	Raspberry Pi als Universaltool	36
1.4.7	Abgreifklemmen und Adapter	41
2	OSINT	45
2.1	OSINT-Quellen	46
2.2	OSINT-Ziele im Produktumfeld	46
2.3	OSINT-Analyse	47
2.3.1	Hardware	48
2.3.2	Apps	51
2.3.3	Operations	55
2.3.4	Community	59
3	Hardware	61
3.1	Elektronikgrundlagen	61
3.1.1	Stromstärke, Spannung und Widerstand	62
3.2	Kleine Bausteinkunde	62
3.2.1	Diskrete Bauelemente	62
3.2.2	Integrierte Bauelemente (Integrated Circuit – IC)	67

3.2.3	Bussysteme und Schnittstellen	74
3.3	Schaltpläne und Layouts	78
3.4	Datenblätter	79
4	Physische Sicherheit	83
4.1	Gehäuse	84
4.1.1	Spezialschrauben	86
4.1.2	Verklebungen	86
4.1.3	Verschweißung (Kunststoff)	87
4.1.4	Siegel und Plomben	87
4.1.5	Elektronik und Elektromechanik	88
4.1.6	Bausteinverblendung	89
4.2	Designgrundlagen	95
4.2.1	8-Bit-Controller mit HL-Kommunikationsbaustein	96
4.2.2	32-Bit-Controller	98
4.2.3	Android Embedded Device	99
4.2.4	All-in-One-SoC	100
4.2.5	Kombinationen	100
4.3	Praktische Analyse	100
4.3.1	Visuelles Hilfsdokument	100
4.3.2	Entfernen des Schutzlacks	104
4.4	Firmware-Extraktion am Gerät	105
4.4.1	JTAG	106
4.4.2	SWD	107
4.4.3	Serielle Konsole (UART)	114
4.4.4	USB	122
4.4.5	SPI	123
4.4.6	Bus Sniffing & Injection	126
5	Firmware	131
5.1	Dateisysteme	133
5.2	Quellen von Firmware-Images	135
5.2.1	Download des Firmware-Images aus dem Internet	135
5.3	Firmware-Image entpacken	138
5.3.1	Entpacken vorbereiten	138
5.3.2	Manuelles Entpacken	139
5.3.3	Toolgestütztes Entpacken	142
5.3.4	Besondere Firmware-Images	143

5.4	Statische Firmware-Analyse	145
5.4.1	Manuelle Analyse	147
5.4.2	Toolgestützte Analyse	149
5.5	Firmware-Emulation	150
5.6	Dynamische Firmware-Analyse	154
5.7	Firmware-Manipulation	157
6	IoT-Referenzarchitekturen und Netzwerkprotokolle	163
6.1	Einführung in Protokolle	163
6.2	IoT-Referenzarchitekturen	164
6.3	Bluetooth Low Energy	167
6.3.1	Protokoll-Stack	168
6.3.2	Kommunikation zwischen Geräten	169
6.3.3	Bluetooth LE – Sicherheit	178
6.3.4	Klassische Bluetooth-Angriffe	179
6.3.5	Praktische Bluetooth-LE-Angriffe	180
6.4	Zigbee	195
6.4.1	Protokoll-Stack	195
6.4.2	Netzwerk	197
6.4.3	Zigbee-Schwachstellen	200
7	MQTT	205
7.1	Funktionsweise	206
7.2	Quality of Service (QoS)	209
7.3	Retained Messages	209
7.4	Last Will and Testament	210
7.5	Pakettypen	210
8	Apps	217
8.1	OWASP MASVS	218
8.2	Die App herunterladen	219
8.2.1	iOS	220
8.2.2	Android	221
8.3	Statische Analyse	222
8.4	Dynamische Analyse	224
8.4.1	BlackBox	225
9	Backend, Web und Cloud	233
9.1	Vorbereitung	233
9.1.1	Microsoft Azure	235

Inhaltsverzeichnis

9.1.2	Amazon Web Service (AWS)	236
9.1.3	Google Cloud Service	237
9.2	Testen von Webapplikationen	237
9.2.1	OWASP Top 10 2017	238
9.2.2	OWASP Testing Guide	242
	Stichwortverzeichnis	249



Vorwort

Eine bei Minusgraden gehackte smarte Heizung führte in Finnland zu eingefrorenen Rohrleitungen in einer Wohnanlage mit einigen Hundert Einheiten. US-Behörden riefen Herzschriftmacher zurück, weil Hacker sie angreifen konnten. Zwei Forscher schafften es, einen Jeep Grand Cherokee über das Internet vollständig fernzusteuern, von Aircondition über Fahrtrichtung, Geschwindigkeit und Sitzverstellung bis hin zur Zentralverriegelung.

Längst betrifft IT-Sicherheit nicht mehr nur den klischeehaften Hacker in seinem mit Pizzakartons zugemüllten dunklen Kabuff, sondern jeden von uns. Mit Cyber-Physical-Systemen haben Programmierfehler und Sicherheitslücken Auswirkungen auf das tägliche Leben.

Marcel Mangel und Sebastian Bicchi sind professionelle Penetration Tester, sie demonstrieren regelmäßig Sicherheitslücken. Auf Basis ihres Wissens und ihrer praktischen Erfahrungen ist das folgende Buch entstanden, in dem sie darlegen, wie Angreifer arbeiten – am Beispiel smarterer Geräte.

Sie zeigen auf, wie oft simple Fehler zu gefährlichen Angriffen führen und wie die Angriffe funktionieren. Damit bieten sie Sicherheitstestern eine hervorragende Anleitung dazu, wie sie zur Qualitätssicherung vor der Markteinführung ihre Produkte testen sollten.

Gleichzeitig lernen die Entwickler, wie sie die Angriffsflächen in der Zukunft verringern und so die Sicherheit deutlich erhöhen.

Ich bin ein Verfechter von Qualitätssicherung in der Softwareentwicklung. Zur Qualitätssicherung gehört es, sowohl die Fehlermöglichkeiten zu kennen, um sie zu vermeiden, als auch durch gründliches Testen Fehler zu identifizieren. Zu beidem leistet dieses Buch einen wertvollen Beitrag.

Von Praktikern für Praktiker anhand praktischer Beispiele mit qualifiziertem theoretischem Hintergrund – eine lohnende Lektüre, für die ich den beiden Autoren sehr dankbar bin.

Prof. Dr. Tobias Eggendorfer
Lehrstuhl für IT-Sicherheit
Hochschule Ravensburg Weingarten

Einleitung

Die Vernetzung der Welt schreitet immer weiter voran. Das betrifft nicht nur traditionelle IT-Systeme, sondern mehr und mehr alle möglichen »smarten« Geräte. Diese können alle unter dem Stichwort **Internet of Things (IoT)** subsummiert werden. Für die Hersteller technischer Geräte ist es heutzutage quasi ein Muss, diese in irgendeiner Weise »smart« zu machen. Ein Gerät wird in der Regel dadurch »smart«, dass es mit anderen Geräten oder Systemen vernetzt ist und Informationen austauschen kann.

Dieser Informationsaustausch geschieht dabei in aller Regel über standardisierte Protokolle und Infrastrukturen wie z. B. das Internet. Für potenzielle Angreifer eröffnet diese Vernetzung eine ganze Reihe neuer Angriffsmöglichkeiten. Anstatt besonders gehärtete klassische IT-Systeme anzugreifen, ist es für Hacker deutlich interessanter geworden, ihren Fokus auf IoT-Geräte zu verlegen. Darunter finden sich eine Menge Geräte, die praktisch überhaupt nicht abgesichert sind. Da kann es, wie das Mirai-Botnetz¹ eindrucksvoll unter Beweis gestellt hat, schon ausreichen, die Geräte einfach mit Standardpasswörtern zu übernehmen und für weitere Angriffe zu missbrauchen. Es wurden insgesamt 64 verschiedene Standardpasswörter getestet, um Zugriff auf die entsprechenden Geräte zu erlangen. Eine genauere Analyse des Sourcecodes sei dem Leser an Herz gelegt.

Die Situation verschärft sich jedoch dramatisch, wenn es sich bei den angegriffenen Geräten nicht mehr um Router oder Kameras handelt, sondern um Geräte aus der Medizintechnik. Auch in dieser Branche werden die Geräte immer »smarter« und bieten damit immer größere Angriffsflächen. Viele Hersteller sind sich aktuell gar nicht richtig im Klaren über die Gefahren, die von der zunehmenden Vernetzung ausgehen. Nicht nur die Medizintechnik ist ein Beispiel für die wachsende Verzahnung von Security und Safety. Weitere Bereiche, für die das gilt, sind die sogenannten »kritischen Infrastrukturen«. Darunter fallen z. B. Energieversorger, der öffentliche Personenverkehr oder auch Krankenhäuser. Werden solche Systeme kompromittiert, kann das fatale Folgen haben. Ein sehr bekanntes Beispiel ist der Stromausfall in Brasilien. Nachdem Angreifer Industrial-Control-Systeme unter ihre Kontrolle gebracht hatten, kam es zu flächendeckenden Stromausfällen, von denen Millionen Menschen in Brasilien über mehrere Stunden betroffen waren.²

1 <https://github.com/jgamblin/Mirai-Source-Code>

2 <https://www.wired.com/2009/11/brazil/>

Auch hier waren nicht abgesicherte Systeme, die über das Internet erreichbar waren Ausgangspunkt des Angriffs.

Die Hersteller werden jedoch immer mehr zur Verantwortung gezogen. Während man das Thema Cyber Security vor einigen Jahren noch sehr stiefmütterlich behandeln konnte, wird es in den kommenden Jahren mehr und mehr an Wichtigkeit gewinnen. Zum Teil wird dies auch schon durch die Einhaltung von Compliance-Richtlinien wie der Datenschutzgrundverordnung erzwungen.

Ziel des Buchs

Als wir anfangen, uns mit dem Thema Penetration Testing für Internet-of-Things-Geräte zu beschäftigen, gestaltete es sich als überaus schwierig, Bücher zu diesem Thema zu finden. Insbesondere auf dem deutschsprachigen Markt war zu diesem Zeitpunkt kein geeignetes Buch verfügbar. Auch im englischsprachigen Raum gab es zwar schon einige Bücher, doch diese wurden alle nicht dem gerecht, wonach wir suchten. Im Internet auf diversen Blogs fanden wir einige sehr interessante und hilfreiche Informationen, jedoch keine, die das Thema umfassend abdeckten. Mit diesem Buch versuchen wir, genau diese Lücke zu schließen. Das Buch soll zum einen eine umfassende Informationsquelle zum Thema sein und zum anderen als eine Art Referenzwerk zum praktischen Testen von Geräten dienen.

Die OWASP IoT Top 10 stellen ein erwähnenswertes Projekt dar, in dem man sich ebenfalls mit der Sicherheit von IoT-Geräten beschäftigt. OWASP steht für **O**pen **W**eb **A**pplication **S**ecurity **P**roject, und es handelt sich dabei um eine Non-Profit-Organisation, die insbesondere durch die »OWASP Top 10«, eine Liste mit den am häufigsten vorkommenden Schwachstellen in Webanwendungen, bekannt geworden ist. Neben dieser Liste für Webanwendungen gibt es die »OWASP Mobile Top 10« sowie seit 2014 auch die »OWASP IoT Top 10«, in der die zehn am häufigsten vorkommenden Schwachstellen für IoT-Geräte aufgelistet sind. Nach der letztmaligen Aktualisierung im Jahr 2018 sind dies:

1. Schwache, erratbare oder hartcodierte Passwörter
2. Unsichere Netzwerkdienste
3. Unsichere Schnittstellen innerhalb des IoT-Ökosystems
4. Unsichere Update-Mechanismen
5. Verwendung unsicherer oder veralteter Komponenten
6. Nicht ausreichender Schutz von Benutzerdaten
7. Unsichere Transfers und unsichere Speicherung von Daten
8. Unzureichendes Management der Geräte
9. Unsichere Standardeinstellungen
10. Unzureichender Schutz gegen physische Angriffe

Aufbau des Buchs

Das Buch behandelt in acht Kapiteln die einzelnen Aspekte, die beim Testen eines IoT-Geräts vonnöten sind.

Kapitel 1 – Vorbereitung

In diesem Kapitel werden organisatorische sowie technische Projektvorbereitungen dargestellt, die für ein erfolgreiches Security-Testing-Projekt unabdingbar sind. Neben dem Thema Scoping wird auch intensiv auf den Aufbau eines entsprechenden Testing-Labors eingegangen. Abschnitt 1.3 »Das Labor« zeigt den praktischen Aufbau eines Elektroniklabors, welche Geräte benötigt werden und wofür. Die Grundbegriffe der Elektronik werden erläutert sowie Arbeitsweisen im elektronischen Labor.

Kapitel 2 – OSINT

Zu Beginn dieses Kapitels wird der Begriff *OSINT* (**O**pen **S**ource **I**ntelligence) im Kontext der Sicherheit vernetzter Geräte erklärt. Weiterhin wird beschrieben, wie die systematische Sammlung und Analyse offen zugänglicher Informationen durchzuführen ist und wie diese zur Sicherheitsanalyse verwendet werden können.

Kapitel 3 – Hardware

Das Kapitel »Hardware« erklärt zunächst die notwendigen Elektronikgrundlagen und die verschiedenen Bauelemente in einer kleinen Baustein-Lehre. Zusätzlich werden Bussysteme und Schnittstellen theoretisch beleuchtet und integrierte Bausteine sowie verschiedene Aspekte der Herstellung, wie Layout und Schemata einer Platine, beschrieben.

Kapitel 4 – Physische Sicherheit

Das Kapitel »Physische Sicherheit« beschäftigt sich mit der Sicherheit des Gehäuses und Tamper-Protection-Maßnahmen. Außerdem werden Hardwaredesign-Grundlagen erklärt (8-/32-Bit-Controller) und verschiedene Angriffspunkte erläutert. Zu guter Letzt wird gezeigt, wie bei einem physischen Zugriff auf das Gerät die Firmware extrahiert werden oder ein Zugriff auf andere Daten in Bausteinen erfolgen kann (JTAG/SWD/UART/SPI).

Kapitel 5 – Firmware

Die Firmware ist quasi das Herzstück eines jedes IoT-Geräts und besitzt damit einen besonderen Stellenwert bei der Sicherheitsanalyse eines solchen. In diesem Kapitel werden zunächst unterschiedliche Möglichkeiten dargestellt, an die Firmware eines Geräts zu gelangen. Im Anschluss beschreibt das Kapitel ausführlich das Entpacken, die Analyse und die Emulation von Firmware-Images.

Kapitel 6 – IoT-Referenzarchitekturen und Netzwerkprotokolle

Das Kapitel beginnt mit einer Einführung in das Thema Protokolle und stellt zwei verschiedene in der Praxis relevante IoT-Referenzarchitekturen vor, bevor auf zwei konkrete Netzwerkprotokolle (Bluetooth Low Energy und Zigbee) im Detail eingegangen wird. Diese beiden Protokolle werden von zahlreichen IoT-Geräten verwendet und stellen damit ein oftmals zentrales Thema bei vielen Security Assessments dar. Neben den Grundlagen der beiden Protokolle werden praktische Angriffe und Tools vorgestellt.

Kapitel 7 – MQTT

Das achte Kapitel widmet sich dem wohl wichtigsten Protokoll auf Anwendungsebene im IoT-Umfeld: MQTT. Hier steht insbesondere eine ausführliche Darstellung der Funktionsweise sowie der wesentlichen Pakettypen im Vordergrund.

Kapitel 8 – Apps

Das App-Kapitel umfasst einen kurzen Einstieg in die OWASP-App *Security* und erklärt, welche Sicherheitsanforderungen an Apps allgemein gestellt werden.

Vertiefend wird auf die Spezifika vernetzter Geräte und Apps eingegangen, insbesondere auf sämtliche Verbindungen (direkt und indirekt) zum vernetzten Gerät.

Kapitel 9 – Backend, Web und Cloud

In diesem Kapitel werden zum einen die Rahmenbedingungen erläutert, die beim Testen von Backend-Systemen zu beachten sind, und zum anderen wird die am weitesten verbreitete Methodik zum Testen von Applikationen nach OWASP erläutert.

Zielgruppe

Das Buch richtet sich in erster Linie an Personen, die Penetration Tests von Internet-of-Things-Geräten durchführen möchten.

Neben den eigentlichen Testern kann das Buch durchaus auch für Projektmanager oder Security-Verantwortliche aufseiten der Hersteller interessant sein.

Was Sie benötigen

Als Leser dieses Buchs sollten Sie bereits über grundlegende Kenntnisse in IT-Sicherheit, insbesondere in den Bereichen Netzwerk- und Applikationssicherheit, verfügen. Zudem wird ein routinierter Umgang mit Linux vorausgesetzt.

Trotzdem legen wir Wert darauf, dass auch interessierte Einsteiger den Inhalten des Buchs gut folgen können.



Über die Autoren

Marcel Mangel verfügt über mehr als eine Dekade praktischer Erfahrung in IT-Sicherheit. Sowohl im defensiven als auch im offensiven Bereich war er mehrere Jahre für renommierte Unternehmen tätig und hat neben einem Master in Informatik noch über eine ganze Reihe von anerkannten Zertifikaten. Nebenbei arbeitet Marcel Mangel bereits seit mehreren Jahren im Rahmen von Lehraufträgen und Gastvorlesungen an diversen Universitäten und Fachhochschulen als Dozent. Zurzeit hält er die Master-Vorlesung »Vertiefung der IT-Sicherheit« an der Fachhochschule Rosenheim.

Sebastian Bicchi begann bereits in seiner Jugend mit dem Aufspüren von Sicherheitslücken in Webseiten und Anwendungen. Nach seinem IT-Security-Studium gründete er in Wien gemeinsam mit Studienkollegen das Unternehmen »Security Research« (sec-research.com) und beschäftigte sich insbesondere mit den technischen Aspekten der IT-Security. Die Synergien seiner Ausbildungen in verschiedenen Bereichen (Elektrotechnik/industrielle Informationstechnik, Informationstechnologien und Telekommunikation, IT-Security) schufen die Basis für sein fundiertes Wissen über IoT- und Hardware-Hacking. Sebastian Bicchi betätigt sich darüber hinaus freiwillig in nicht kommerziellen Organisationen für Informationssicherheit, zum Beispiel als Co-Chapter-Lead bei OWASP für das Chapter Vienna.



Danksagungen

Marcel Mangel

Mein besonderer Dank gilt meiner Lebensgefährtin Sarah sowie meiner gesamten Familie, die mich bei der Erstellung des Buchs außerordentlich unterstützt haben.

Daneben möchte ich mich ganz herzlich bei meinem Koautor und Freund Sebastian Bicchi bedanken, ohne den dieses Buch nicht entstanden wäre.

Außerdem bedanke ich mich sehr herzlich beim mitp-Verlag für die Möglichkeit der Veröffentlichung sowie insbesondere bei unserer Lektorin Frau Janina Bahlmann für die tolle Unterstützung und Zusammenarbeit.

Und zu guter Letzt bedanke ich mich ebenfalls sehr herzlich bei Christian Salzmann, der die Abschnitte über Bluetooth und Zigbee beigesteuert hat, und bei Tobias Eggendorfer für den stetigen Austausch und das Vorwort.

Sebastian Bicchi

Mein besonderer Dank gilt meiner Freundin Sandra, die mich in allem, was ich mache, unterstützt und mir, während ich dieses Buch geschrieben habe, alle nur erdenklichen Lasten abgenommen hat.

Weiterhin möchte ich mich bei Marcel Mangel bedanken – für die Möglichkeit, dieses Buch zu schreiben, und für die Zusammenarbeit bei der Erstellung des Buchs und allen weiteren spannenden Projekten, die wir zusammen bearbeitet haben.

Ein großes Dankeschön möchte ich an dieser Stelle auch dem Verlag und Frau Bahlmann für ihre Unterstützung während des gesamten Erstellungsprozesses des Buchs und für das außerordentlich gute Feedback ausrichten.

Mein weiterer Dank gilt den Personen, die meine Ausbildung zu einem besonderen Weg gemacht und mir letztendlich ermöglicht haben, dieses Buch zu schreiben: Manuel Koschuch (FH Campus Wien) und Bernd Stanzl (HTL Mödling). Beide haben mich über alle Maßen unterstützt, sämtliche Fragen, auch über den Lehrplan hinaus, immer mit genügend Zeit und Geduld beantwortet und mich inspiriert, Wissen weiterzugeben.

Ich möchte mich ebenfalls bei Zlatko Sehanovic und Herbert Dowalil für das Vorab-Review und das inhaltliche Feedback bedanken.

Vorbereitung

1.1 Organisatorische Vorbereitungen

Bei der Durchführung eines Penetration Tests auf einem IoT-Gerät ist ein gut strukturierter Projektablauf maßgeblich für den Erfolg.

Ein wesentlicher Aspekt, dem ausreichend Aufmerksamkeit geschenkt werden sollte, ist das Thema »Scoping«, also die Festlegung der thematischen Abdeckung bzw. des Geltungsbereichs des Tests. Das Scoping muss zwingend in enger Abstimmung mit dem Auftraggeber erfolgen. Nach unserer Erfahrung liegt hier eine häufige Ursache in der Unzufriedenheit vieler Auftraggeber am Ende eines Projekts. Wichtig ist es, sicherzustellen, dass der Auftraggeber und der Tester die »gleiche Sprache sprechen«. Häufig sind die Tester so tief technisch verwurzelt, dass es bei Projektbesprechungen zu Missverständnissen kommt und insbesondere Fachbegriffe unterschiedlich ausgelegt werden. Deshalb ist es zu Beginn eines Projekts sinnvoll, einige wesentliche Begriffe kurz zu definieren und für ein gemeinsames Verständnis zu sorgen.

Darüber hinaus sollten folgende Punkte abgestimmt werden:

- Testmethodik (BlackBox, GreyBox oder WhiteBox)
- Testtiefe
- Testziele

Bei einem *BlackBox*-Test verfügt der Tester über keinerlei nicht öffentliche Informationen über das zu testende Gerät bzw. System. Der Tester schlüpft also in die Rolle eines externen Angreifers, der sich alle notwendigen Informationen selbstständig besorgen muss. Im Gegensatz dazu stehen dem Tester bei einem *WhiteBox*-Test viele nützliche nicht öffentliche Dokumente wie z. B. Netzwerkdiagramme, Funktionsdiagramme, interne technische Dokumentationen, Datenflussdiagramme oder auch der Quellcode der Applikationen zur Verfügung. Der *GreyBox*-Ansatz stellt den Mittelweg zwischen BlackBox und WhiteBox dar. Hier verfügt der Tester über einige nicht öffentliche Informationen. Im Regelfall stellt der Auftraggeber zumindest Netzwerkdiagramme und interne technische Dokumentationen zur Verfügung, während der Quellcode von Applikationen nicht herausgegeben wird.

Bei der Abstimmung der Testtiefe geht es in erster Linie darum, festzulegen, inwieweit identifizierte Schwachstellen ausgenutzt werden sollen. In der Regel wer-

den dazu sogenannte Proof-of-Concept-Exploits erstellt, die belegen, dass die entsprechende Schwachstelle ausnutzbar ist.

Es ist sinnvoll, für jedes Projekt Ziele zu definieren, die beim Testen verfolgt werden sollten. Diese können auch in Form von Fragen formuliert werden.

Einige sinnvolle Fragen, deren Beantwortung nach Abschluss des Tests möglich sein sollte, sind:

- Ist es möglich, unautorisierten Zugriff auf das Gerät zu bekommen?
- Ist es möglich, an sensitive Daten zu gelangen?
- Ist die Angriffsfläche des Produkts minimal gehalten, um potenzielle Angriffe zu erschweren?

Das Motiv vieler Auftraggeber ist zunehmend das Thema »Compliance«, z. B. im Rahmen einer PCI-Zertifizierung oder der Datenschutzgrundverordnung. Aus unserer Sicht sollte die Einhaltung der Compliance zwar mit berücksichtigt werden, jedoch niemals das einzige Motiv für eine Überprüfung sein. Die Sicherheit des IoT-Geräts bzw. dessen Ökosystem sollte immer das zentrale Motiv eines solchen Tests darstellen.

1.2 Grundlegender Ablauf des Penetration Tests

Obwohl ein Penetration Test dynamisch abläuft und eine Aufgabe in die andere greift, gibt es ein grundsätzliches Vorgehensmuster:

1. **Auftragsvergabe, Vorbereitung, Klärung des Scopes:** Bevor Sie mit dem Test beginnen, müssen sämtliche formellen Punkte geklärt werden. Dazu zählt der Testmodus, der Scope (Testziel), die Angriffsfreigabe, und natürlich müssen Sie die Testobjekte (IoT-Geräte) erhalten.
2. **Informationsbeschaffung:** Wie funktioniert das Gerät? Welche öffentlichen Informationen gibt es? Dieser Teil wird in Kapitel 2 behandelt.
3. **Inbetriebnahme nach Vorgabe:** Nehmen Sie das Gerät wie durch den Hersteller vorgesehen in Betrieb. Zeichnen Sie dabei jeglichen Netzwerkverkehr auf – die erste Inbetriebnahme beinhaltet sehr oft sicherheitskritische Abläufe wie Updates, Kopplung oder Registrierung. Die erste Inbetriebnahme bzw. Aufzeichnung wird im nächsten Abschnitt erläutert.
4. **Firmware-Analyse:** Dieser Schritt hängt davon ab, ob Sie die Firmware im Rahmen der OSINT-Analyse oder anderweitig bereits erhalten konnten. Ist dies der Fall, kann die Firmware-Analyse durchgeführt werden – siehe hierzu Kapitel 5. Haben Sie die Firmware noch nicht, ziehen Sie die Hardware- oder App-Analyse vor.
5. **Hardwareanalyse und physische Sicherheit:** Im Rahmen der Hardwareanalyse sind Sie unter Umständen in der Lage, die Firmware zu extrahieren. Führen Sie diese Analyse durch und verbinden Sie den Vorgang mit der Analyse der physischen Sicherheit (Kapitel 3 und Kapitel 4).

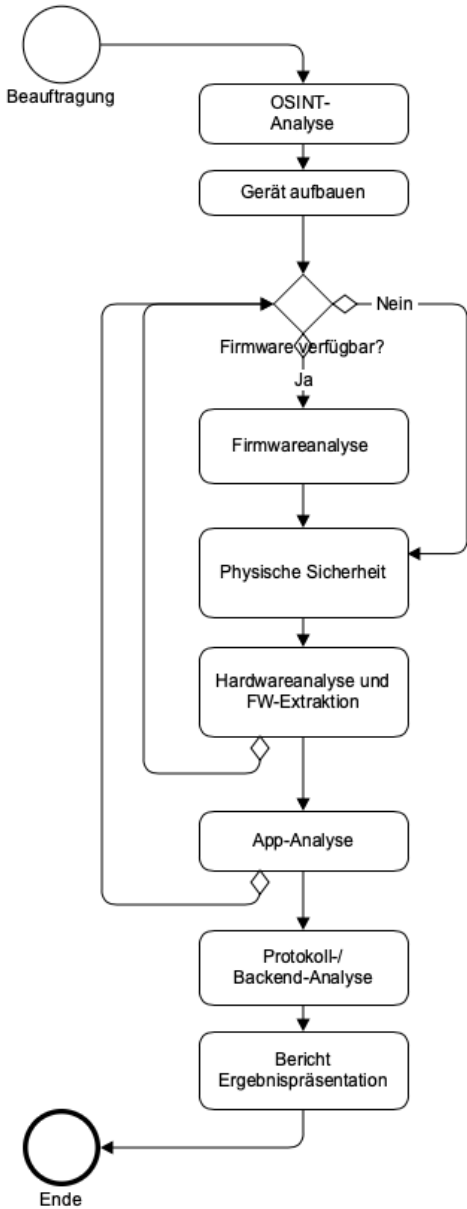


Abb. 1.1: Ablaufdiagramm eines IoT-Penetration Tests

Wichtig

Wenn Sie nur ein Testobjekt zur Verfügung haben, verschieben Sie die Hardwareanalyse ans Ende des Tests, da das Testobjekt beschädigt werden könnte und Sie danach nicht mehr in der Lage sein könnten, die anderen Tests durchzuführen!

6. **App-Analyse:** Führen Sie die App-Analyse wie in Kapitel 8 beschrieben durch.
7. **Protokollanalyse:** Im Rahmen der vorangegangenen Tests sollten nun einige Protokollangriffspunkte sichtbar geworden sein. Führen Sie jetzt den Penetration Test auf die IoT-Protokolle und Backends durch, wie in den Kapitel 6, Kapitel 7, und Kapitel 9 beschrieben.
8. **Schwachstellen zusammenfügen:** Das holistische Bild ist sehr wichtig, da reale Angriffe sehr oft eine Kombination unterschiedlicher Schwachstellen ausnutzen. Verbinden Sie alle gefundenen Schwachstellen und beschreiben Sie eventuelle Zusammenhänge.
9. **Reporting:** Erstellen Sie einen Bericht und führen Sie die Nachbereitung mit dem Auftraggeber durch. Das Reporting besteht normalerweise aus einer Präsentation der Schwachstellen und Empfehlungen dazu, wie diese behoben werden können. Auch wird oft ein Nachtest besprochen, um die Behebung der Schwachstellen zu prüfen.

Dieser gesamte Testablauf ist grafisch in Abbildung 1.1 dargestellt.

Aufzeichnung der ersten Inbetriebnahme

Bevor der eigentliche Test durchgeführt wird, sollten Sie das Gerät zunächst wie durch den Hersteller vorgesehen in Betrieb nehmen. So erfahren Sie, wie das Gerät grundsätzlich funktioniert bzw. wie die vom Hersteller gedachte Arbeitsweise ist.

Die erste Inbetriebnahme ist von besonderer Bedeutung: Oft werden hier einmalige Vorgänge gestartet, die sich später nicht einfach reproduzieren lassen, zum Beispiel ein Firmware-Update oder die Registrierung des Geräts mit dem Server. Daher ist es notwendig, die Inbetriebnahme von Beginn an ausreichend zu dokumentieren. Dazu zählt auch insbesondere der Netzwerkverkehr des Geräts.

Je nachdem, wie das Gerät mit dem Netzwerk zu verbinden ist, stehen verschiedene Aufzeichnungsmöglichkeiten zur Auswahl. Verbindet sich das Gerät mittels WLAN mit dem Netzwerk, kann die Konfiguration in Abbildung 1.2 verwendet werden.

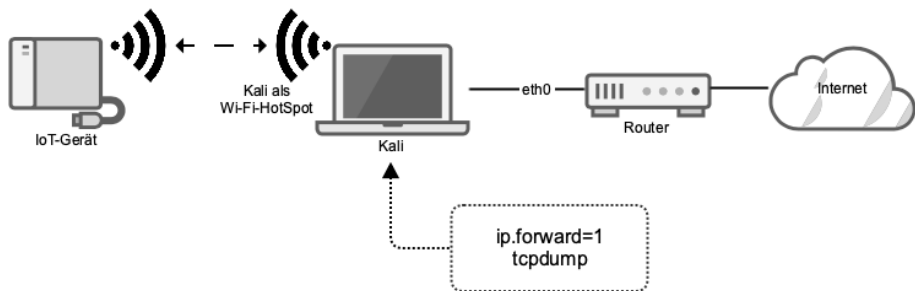


Abb. 1.2: Capturen der Wi-Fi-Verbindung

In dieser Konfiguration können Sie folgenden Befehl verwenden, um die Aufzeichnung durchzuführen:

```
tcpdump -i wlan0 -s 65535 -w ./capture-01.pcap
```

Besitzt das Gerät hingegen einen Ethernet-Anschluss bzw. muss die Ersteinrichtung über Ethernet durchgeführt werden, können Sie einerseits auf Hardware wie das Hak5 PacketSquirrel¹ zurückgreifen, das in Abbildung 1.3 dargestellt ist.



Abb. 1.3: PacketSquirrel

Mit einer entsprechenden Konfiguration (entnehmen Sie diese bitte der Anleitung bzw. dem Hak5-Forum) und einem USB-Stick zeichnet das PacketSquirrel den Verkehr zwischen dem Gerät und dem Netzwerk zuverlässig auf. Diese Methode ist komfortabel, da kein Computer benötigt wird, jedoch muss das PacketSquirrel hierzu gekauft werden.

Sie können die Aufzeichnung jedoch auch mit einem Computer oder dem Raspberry Pi durchführen. Hierzu benötigen Sie eine zweite Ethernet-Karte – hat Ihr Computer diese nicht eingebaut, können Sie auch eine externe USB-Ethernet-Karte verwenden, wie in Abbildung 1.4 gezeigt.

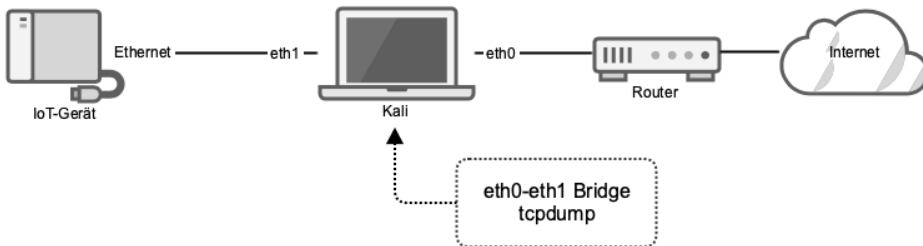


Abb. 1.4: Paket Capture Ethernet

Die beiden Karten müssen nun zu einer Netzwerkbrücke konfiguriert werden, sodass Pakete einfach zwischen den Ports durchgereicht werden. Installieren Sie

1 <https://docs.hak5.org/hc/en-us/categories/360000982574-Packet-Squirrel1>

hierzu die `bridge-utils` – unter Debian oder Kali mit dem Kommando `aptitude install bridge-utils`.

Um nun eine Netzwerkbrücke zwischen den beiden Karten – zum Beispiel `eth0` und `eth1` – zu erstellen, verwenden Sie folgende Kommandos:

```
brctl addbr br0
brctl addif br0 eth0 eth1
```

Dadurch erhalten Sie ein neues virtuelles Netzwerkgerät namens `br0`, das die beiden realen Ethernet-Adapter `eth0` und `eth1` miteinander verbindet. Mittels `tcpdump` können Sie nun den Verkehr aufzeichnen.

```
tcpdump -i br0 -s 65535 -w ./capture-01.pcap
```

Wenn sich das IoT-Testgerät über Bluetooth mit einer App verbindet, sollten Sie ein erweitertes Setup verwenden. Aktivieren Sie hierzu bei Android zunächst die Funktion *Bluetooth HCI Snooping* in den Entwickleroptionen. Dadurch wird der Bluetooth-Verkehr aufgezeichnet (Details hierzu finden Sie im Abschnitt 6.3.5).

Verwenden Sie dann das Setup, das Abbildung 1.5 darstellt.

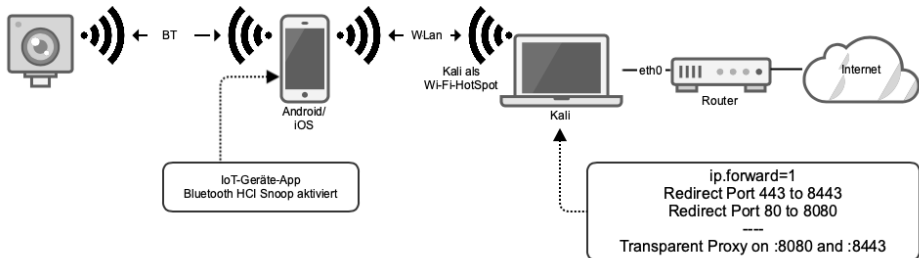


Abb. 1.5: Paket Capture Bluetooth

Zusätzlich sollten Sie zuvor noch die Einrichtungsschritte aus dem Abschnitt 8.4.1 »Netzwerkverkehr« durchführen und gleichzeitig den Netzwerkverkehr der App mitschneiden.

1.3 Das Labor

Das Labor ist der Arbeitsbereich für die Tests und sollte daher entsprechend ausgestattet sein. Im Labor werden Sie die Geräte zerlegen, die Hardware analysieren sowie Bluetooth-, WLAN- und LAN-basierte Angriffe durchführen.

Hinweis

Sollte sich das Labor am Arbeitsplatz befinden, sind spezielle Regelungen hinsichtlich Belastung der Mitarbeiter mit Schadstoffen zu beachten. Insbesondere Schwermetalle (z. B. bleihaltiges Lötzinn), Lötdämpfe und Lösungsmittel unterliegen in der Arbeitswelt strengen Regulierungen. Der Arbeitgeber hat an dieser Stelle für die Sicherheit der Mitarbeiter zu sorgen.

Eine ausreichende Arbeitsfläche, mindestens 2,00 × 1,20 Meter, sollte vorhanden sein. Diese Fläche sollte mit einer ESD(Electrostatic-Discharge)-sicheren Matte oder einer ESD-Schutzeinrichtung ausgestattet sein. Die Arbeitsfläche muss beständig sein gegen Hitze (Löten, Heißluft) und Chemikalien.

Zu den unbedingt benötigten Geräten gehören:

- Feinmechanikwerkzeug (zum Beispiel von iFixIt)
- Labornetzgerät
- Lötkolben und Lötzubehör (Lötzinn, Entlötlitze, Flussmittel)
- Klemmen, »Fliegenfüße«, SMD-Abgreifzangen, Stift- und Sockelleisten, Jumper-Kabel und weitere Adapter/Kabel
- Multimeter
- Lupe oder Mikroskop
- Computer mit mindestens zwei Netzwerkkarten (1× WLAN + 1× Ethernet), besser jedoch vier (2 + 2)
- Internetanschluss mit möglichst wenig Zwischenkomponenten, am besten direkt, nach Möglichkeit ohne (Mehrfach-)NAT bzw. mit öffentlicher IP-Adresse²
- Raspberry Pi-Einplatinencomputer

Die Werkzeuge werden im nächsten Abschnitt genauer erklärt.

Folgende Geräte sind empfehlenswert bzw. werden für bestimmte Analysen benötigt:

- Oszilloskop
- Logic Analyzer
- RS232-USB-Wandler
- Shikra-USART/UART-USB-Wandler
- Adafruit Buspirate

2 Einige Internetanbieter, insbesondere von mobilen Verbindungen wie 3G/LTE, vergeben keine Public-IP, sondern eine interne private IP, die zusätzlich von transparenten Proxy-Servern gefiltert wird. Dies kann sich nachteilig auf die Tests auswirken und zu nicht reproduzierbaren Ergebnissen führen.

- Facedancer (USB-Analyse)
- Hack RF One
- UberTooth
- Micro:bit-Einplatinencomputer
- Android-Smartphone, wenn möglich gerootet
- iOS-Smartphone, nach Möglichkeit mit JailBreak

Diese Auflistung ist nicht vollständig, und im Laufe Ihrer weiteren IoT-Hacking-Erfahrung wird sich Ihr Werkzeugkasten stets erweitern. Nicht alle Geräte werden immer benötigt – so können einige dieser Hardwaretools zum Beispiel durch einen Raspberry Pi ersetzt werden, wie später in diesem Buch beschrieben wird.

Vorsicht!

Schließen Sie die zu testenden Geräte niemals ohne galvanische Trennung (Labornetzgerät, Batterie oder Trenntrafo) an das Stromnetz an, wenn Sie an diesen geöffnet arbeiten. Interne Netzgeräte sind manchmal nicht galvanisch getrennt. Dies kann zu fehlerhaften Messungen, Spannungsverzug oder gefährlichen Spannungsspitzen führen. Dadurch können Sie sich ernsthaft verletzen oder Geräte zerstören.

1.4 Werkzeuge

(Hardware-)Werkzeuge sind für das Testen von vernetzten Geräten unerlässlich, da Angriffe auf die Hardware durchgeführt werden müssen und das Verständnis der Hardware essenziell für eine ausführliche Analyse ist. Sie sollten eine gewisse Fertigkeit mit den Werkzeugen entwickeln, bevor Sie sie im echten Einsatz verwenden. Nachfolgend werden die wichtigsten Hardwarewerkzeuge erklärt sowie Grundeinrichtung und Verwendung eines Standardlabors.

1.4.1 Labornetzgerät

Das Labornetzgerät dient als Stromquelle für sämtliche zu analysierenden Geräte. Im Idealfall können Sie auf dem Gerät Spannung und Strombegrenzung exakt einstellen. So bietet Ihnen das Gerät zusätzlichen Schutz gegen einen Kurzschluss im Verlauf der Arbeiten.

Das Labornetzgerät ist insbesondere sehr nützlich, wenn Sie an offenen Geräten arbeiten. Zwar können viele Geräte auch ohne entsprechendes Netzgerät versorgt werden, jedoch ist es vor allem im Automotive-Bereich üblich, dass die Geräte durch das Bordnetz versorgt werden. Daher muss in diesem Fall eine externe regu-

liebare Quelle zur Verfügung stehen, wenn das Gerät außerhalb des Vehikels getestet werden soll.

Auch bei batteriebetriebenen Geräten kann die Arbeit am geöffneten Gerät äußerst mühsam werden, da die Kontakte oft durch das Gehäuse gehalten werden und ohne Gehäuse keine richtige Stromversorgung sichergestellt werden kann.

Vorsicht!

Arbeiten Sie niemals an geöffneten mit Strom versorgten Geräten, wenn diese mit Netzspannung oder Spannungen über 24 V versorgt werden, es sei denn, Sie besitzen entsprechende Kenntnisse bzw. eine Elektrotechnikausbildung. Geräte mit integrierten Netzteilen sollten Sie niemals geöffnet an das Stromnetz anschließen, da hier an manchen Stellen lebensgefährliche Netzspannung anliegen kann. Geräte mit einer Versorgungsspannung unter 24 V können im Betrieb und geöffnet analysiert werden. Hier besteht unter Spannung trotzdem weiterhin Stromschlag- und Kurzschlussgefahr (jedoch sind keine gesundheitlichen Auswirkungen für gesunde Personen zu erwarten).



Abb. 1.6: Labornetzgerät der Firma VOLT CRAFT (Eigenmarke der Elektronikette Conrad Electronic)

Bei integrierten Netzgeräten ist es Best Practice, das integrierte Netzgerät abzuklemmen und durch ein Labornetzgerät zu ersetzen. Dazu muss bekannt sein, welche Ausgangsspannung durch das interne Netzgerät erzeugt wird. Dies kann beispielsweise durch Identifikation der Spannungsregler eruiert werden.

Geräte wie das in Abbildung 1.7 sollten Sie niemals geöffnet an Netzspannung betreiben, wenn Sie keine ausreichende Qualifikation im Bereich Elektrotechnik besitzen.

Tipp

Wenn Sie noch kein Labornetzgerät besitzen, empfiehlt sich bei der Anschaffung ein Mehrkanalgerät, also eines mit zwei oder mehr Ausgängen. Leistung ist im IoT-Bereich meistens nebensächlich. Ein Spannungsbereich von 0 bis 30 V und Ausgangsstrom von bis zu 2,5 A sollten für die meisten Aufgaben ausreichend sein. Genaue Einstellungsmöglichkeiten (digital) sind von Vorteil.

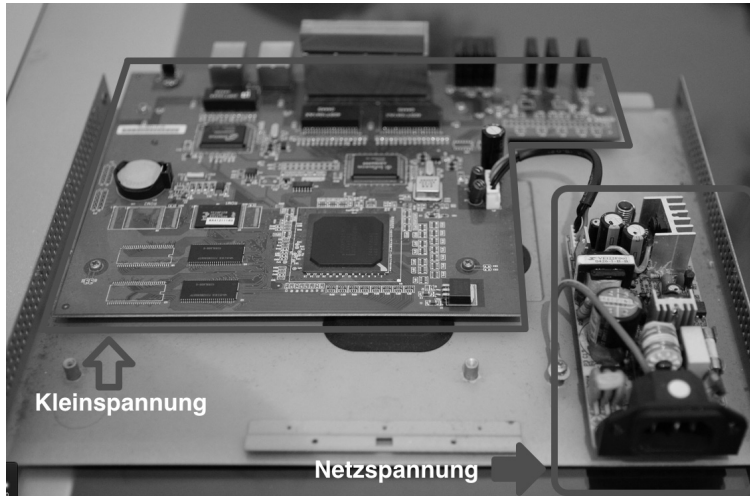


Abb. 1.7: Integriertes Netzgerät – hier besteht Lebensgefahr, wenn das Gerät geöffnet an das Netz angeschlossen wird!

Die richtige Spannung

Die Ausgangsspannung muss an das zu testende Gerät entsprechend angepasst werden. Um diese Spannung zu eruieren, gibt es drei Methoden:

- **Die Spannung ablesen:** Oftmals ist die Eingangsspannung am Typenschild vermerkt. Das ist insbesondere bei Geräten, die ein externes Netzgerät besitzen, der Fall – manchmal ist die zulässige Betriebsspannung jedoch auch bei batteriebetriebenen Geräten im Handbuch vermerkt.
- **Die Spannung berechnen:** Bei batteriebetriebenen Geräten können Sie die Spannung einfach berechnen. Bei in Serie geschalteten Batterien addiert sich die Spannung, bei parallel geschalteten Batterien bleibt die Spannung gleich, aber die Kapazität verdoppelt sich. In der Praxis kommt nahezu ausschließlich die Serienschaltung vor, da eine Parallelschaltung unerwünschte Nebeneffekte hat (z. B. Ausgleichsströme zwischen den Zellen). Ausnahmen bilden Lithium-Akkumulatoren mit Ausgleichsbrücken, hier ist die Parallelschaltung ebenfalls gängig. Auch Kombinationen sind möglich.

- **Die Spannung messen:** Mit dem Multimeter einfach den Spannungseingang abgreifen.

Beispiel

Nachfolgend als Beispiel das Danalock. Es handelt sich um ein batteriebetriebenes Gerät mit vier in Serie geschalteten 3-V-Lithium-Batterien CR123A. Durch die Serienschaltung ergibt sich: $4 * 3 \text{ V} = 12 \text{ V}$ Eingangsspannung.



Abb. 1.8: Danalock mit Batterien

Abbildung 1.9 zeigt die Verbindungen für die Serienschaltung der Batterien.

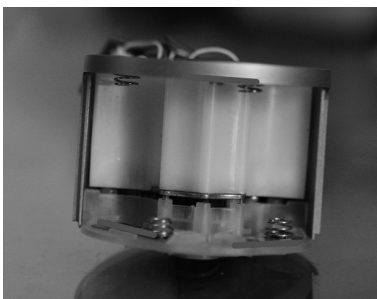


Abb. 1.9: Danalock ohne Batterien – Serienschaltung sichtbar

1.4.2 Multimeter

Ein Multimeter kann mehrere Messgrößen erfassen und ist ein unverzichtbares Universalwerkzeug für Elektronikarbeiten. Im Rahmen der Analyse sind besonders die Widerstandsmessung und die Spannungsmessung von Interesse, da mit diesen Belegung und Funktion der Bausteine und -gruppen grob analysiert werden können.

So können mit dem Multimeter die Verbindungen der Bausteine zur Versorgung und zu anderen Bauteilen untersucht werden. Grundsätzlich gilt: Widerstands- und Durchgangsmessungen werden niemals im Betrieb des zu prüfenden Geräts durchgeführt.

Spannungsmessungen müssen natürlich im Betrieb durchgeführt werden – dies jedoch nur, wenn die Versorgungsspannung keine Gefahr darstellt (siehe Kasten in Abschnitt 1.4.1).



Abb. 1.10: Multimeter der Firma FLUKE

Die Investition in ein gutes Multimeter zahlt sich zu Beginn einer IoT-Reverse-Engineering-Karriere durchaus aus und bewahrt Sie vor Frust.

Spannung messen

Elektrische Spannung ist ein Potenzial zwischen zwei Leitern. Daher wird sie immer zwischen zwei Bezugspunkten gemessen. In den meisten Fällen in diesem Buch ist der Bezugspunkt Masse (Ground, GND) mit dem Potenzial null, da die Messungen auf Frequenzsignale oder differenzielle Signale mit Logic Analyzern oder mittels Oszilloskop erfolgen.

Im IoT-Kontext sind fast ausschließlich Gleichspannungsmessungen von Interesse. Am Multimeter sind diese mit »VDC« oder »V« bezeichnet (wobei bei dem =-Symbol die untere Linie gestrichelt ist).

Dies ist aber nicht immer der Fall. So sind die Potenziale bei differenziellen Bus-systemen nicht gegen GND, sondern jeweils zueinander zu verstehen. Grundsätz-

lich können True-RMS-Messgeräte Wechselspannungen zwar exakt erfassen, für Bussignale sind sie aber nicht geeignet. Hier ist ein Logic Analyzer vonnöten.

Beispiel

Besitzt ein Gerät mehrere Spannungsschienen, zum Beispiel 1,8 V, 3,3 V und 5 V, sind diese gegen den gemeinsamen Bezugspunkt Masse angegeben. Gegenüber einander besitzen diese Spannungsschienen ebenfalls ein Potenzial. So besitzt 5 V gegenüber der 3,3-V-Schiene ein Potenzial (eine Spannung) von 1,7 V. Würde man die 1,8-V-Schiene gegen die 5-V-Schiene messen, erhielte man 3,2 V.

Widerstand messen

Die Widerstandsmessung erfolgt immer im ausgeschalteten Zustand, also ohne Betriebsspannung. Bei der Widerstandsmessung verhält sich das Messgerät wie eine *Konstantstromquelle*. Das bedeutet, das Messgerät versucht, einen (sehr geringen) Strom zwischen den Messpunkten zu erhalten. Gemäß dem ohmschen Gesetz wird hierzu die Spannung der Quelle verändert, bis diese den gewünschten Stromfluss erzielen kann.

Dies ist in den allermeisten Fällen kein Problem, jedoch kann es bei sehr empfindlichen ICs oder Bauteilen zu Beschädigungen kommen. Ein Beispiel sind CMOS-Bausteine, die durch ihren hohen Innen- oder Eingangswiderstand die Stromquelle dazu veranlassen, eine hohe Spannung zu liefern.

Im eingebauten Zustand (also wenn das Bauteil in einer Platine eingelötet ist) kann es außerdem dazu kommen, dass nicht das gewünschte Bauteil gemessen wird, sondern die Schaltung um dieses Bauteil herum (siehe Abbildung 1.11).

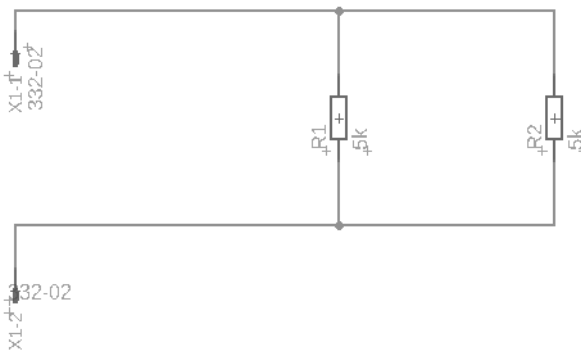


Abb. 1.11: Würde hier an R1 gemessen werden, erhielte man den Parallelwiderstand 2,5 k Ω von R1 und R2 und nicht den Wert 5 k Ω von R1.

1.4.3 Computer

Als Herzstück des Labors ist der Rechner unabdinglich. An dieser Stelle empfehlen wir für den Einstieg die Linux-Distribution Kali. Diese kann unter <https://www.kali.org/downloads/> heruntergeladen werden. Kali hat bereits sehr viele Penetration-Testing-Tools an Bord, und es existiert eine ausgeprägte Community, die bei Fragen sehr hilfreich ist.

Zwar lässt sich Kali auch in einer virtuellen Maschine installieren, für das Testen von IoT-Geräten ist diese Installationsart aber eher ungeeignet. Eine physische Maschine mit Kali erspart Stress und Konfigurationseskapaden.

1.4.4 Oszilloskop

Ein Oszilloskop nimmt Signale auf und zeichnet sie als Spannungs-Zeit-Diagramm. Dies ist bei analogen oder unbekanntem Signalen sehr hilfreich, um sie zu identifizieren. Für digitale Signale ist es zwar geeignet, aber nicht unbedingt notwendig.



Abb. 1.12: Oszilloskop von ROHDE & SCHWARZ, 4 Kanäle, Mixed-Signal

Ein Oszilloskop ist eine größere Investition und am Beginn der IoT-Testing-Karriere oft noch nicht zwingend notwendig. Interessant sind sogenannte Mixed-Signal-Oszilloskope, die klassisches Oszilloskop und Logic Analyzer in sich vereinen.

Wichtige Kenngrößen für Oszilloskope sind die Abtastrate in Samples pro Sekunde, die Genauigkeit, die Speichertiefe sowie Kanäle und Ausstattung. Mindestens zwei Kanäle und eine Abtastrate von 2 GS/s sollte ein Oszilloskop für den Einstieg besitzen.

1.4.5 Logic Analyzer

Ein Logic Analyzer ist ähnlich wie ein Oszilloskop ein Signal-Interpreter. Der Unterschied besteht in der Ausführung: Während Oszilloskope zwischen einem

und vier Kanälen besitzen, beginnen Logic Analyzer erst bei vier Kanälen – meistens jedoch sind acht Kanäle und mehr Standard. Außerdem ist der Logic Analyzer auf das Abtasten und Interpretieren digitaler Signale ausgerichtet, mit denen in diesem Buch bzw. während der IoT-Analyse hauptsächlich gearbeitet wird. So können UART- und I2C/SPI-Signale erkannt und interpretiert werden. Während manche Logic Analyzer auch in der Lage sind, analoge Signale abzutasten und anzuzeigen, besteht der große Vorteil der Analyzer darin, dass digitale Signale entsprechend umgesetzt bzw. interpretiert werden können – insbesondere bei höheren Geschwindigkeiten.

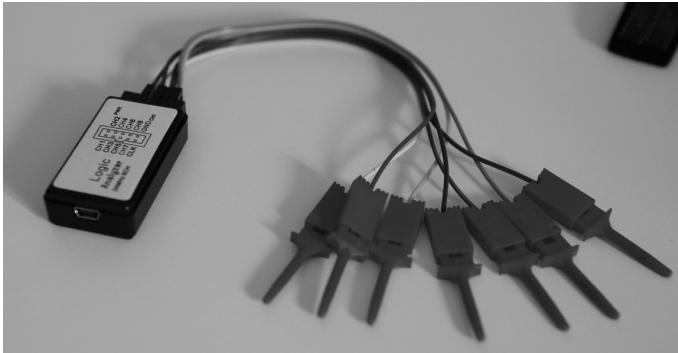


Abb. 1.13: Ein günstiger Logic Analyzer

Wichtige Kenngrößen für Logic Analyzer sind die Abtastrate (Sampling Rate), die Speichertiefe und die Kanalanzahl. Für das Hardware-Testing empfiehlt sich zu Beginn ein Logic Analyzer mit mindestens acht Kanälen und einer Sampling Rate mit ca. 10 MS/s bis 50 MS/s.

Je nach Gerät gibt es eine eigene Software. Sie können jedoch auch das Open-Source-Projekt »sigrok« und die dazugehörige GUI »pulseview« verwenden.



Abb. 1.14: Hochwertiger Logic Analyzer der Firma Saleae

sigrok besitzt ein breites Repertoire an Signaldecodern und lässt diese auch aufeinander »stacken«. Das erspart oft mühsames Decodieren von Befehlen und Daten. Außerdem lässt sich einfach ein neuer Decoder entwickeln, wenn noch kein passender vorhanden ist.

Sie können auf Ihrem Kali-Rechner sigrok und pulseview via apt installieren:

```
apt install pulseview sigrok sigrok-*
```

Oft ist jedoch die durch Kali-Paketquellen verfügbare Version deutlich älter als die aktuelle Entwicklerversion. Diese können Sie direkt von der Entwicklerseite kompilieren und installieren: <https://sigrok.org/wiki/Building>.

Arbeiten mit dem Logic Analyzer

Um mit dem Logic Analyzer zu arbeiten, empfiehlt es sich, ihn zunächst »kennen-zulernen«, sprich einfache Versuchsaufbauten durchzuführen, deren Ergebnis oder Inhalt bekannt ist, bevor man sich an die Analyse von richtigen Geräten wagt.

Sie können einen einfachen Versuchsaufbau durchführen, indem Sie einen Raspberry Pi an einen I2C-Baustein anschließen.

In Abbildung 1.15 ist der Analog-Digital-Konverter ADS1115 von Adafruit über I2C an einen Raspberry Pi angeschlossen. Die einzelnen Pins sind so einfach abnehmbar.

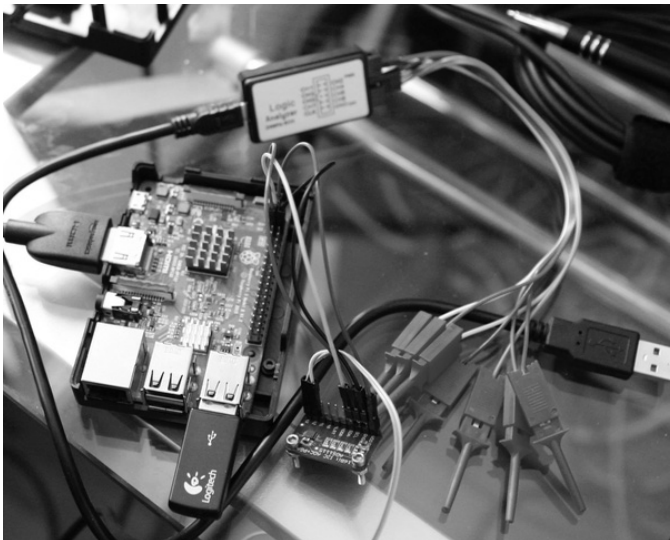


Abb. 1.15: Beispielaufbau, um den Logic Analyzer zu testen – LDA1115 mit Raspberry Pi und einfachem Logic Analyzer

Sie können für den Aufbau auch ein Breadboard verwenden – dieses ermöglicht ein einfacheres Zusammenstecken der benötigten Kontakte. Ein Tutorial und ein Beispielprogramm für den ADS1115 finden Sie auf adafruit.com³.

Sobald der Basisaufbau steht, verbinden Sie GND des Logic Analyzer mit dem GND des Raspberry Pi, um eine gemeinsame Referenzmasse zu schaffen. Verbinden Sie die Kanäle 1 und 2 mit SCL und SDA.

Vorsicht!

Nehmen Sie Verbindungen mit dem Analyzer und Verdrahtungen immer im ausgeschalteten Zustand vor. Die Klemmen können leicht Kurzschlüsse auslösen. Dies kann zur Beschädigung der Komponenten führen.

Starten Sie nun pulseview auf Ihrem Computer und richten Sie die Kanäle korrekt ein. Wählen Sie dazu Ihren Logic Analyzer und verwenden Sie folgende Einstellungen:

- Abtastrate: 5 MSa/s oder mehr
- Samplentiefe 50 MSamples (10 Sekunden)

Starten Sie nun das Beispielprogramm auf dem Raspberry Pi – es zeigt die Eingangswerte des Analog-Digital-Konverters (ADC) an.

Starten Sie möglichst davor oder zeitgleich den Aufzeichnungsvorgang in pulseview. Nun sehen Sie in pulseview die Daten, die gelesen werden.



Abb. 1.16: UART in pulseview

Nyquist-Shannon-Abtasttheorem

Gemäß dem Abtasttheorem von Nyquist-Shannon⁴ gehen Informationen verloren, wenn die Abtastrate kleiner als das Doppelte der höchsten vorkommenden zu erfassenden Frequenz ist.

Dies bedeutet in der Praxis, dass ein Bussignal mit 10 MHz mit mindestens 20 MHz (entspricht 20 MS/s) abgetastet werden muss, um alle Informationen

³ <https://learn.adafruit.com/adafruit-4-channel-adc-breakouts/>

⁴ <https://de.wikipedia.org/wiki/Nyquist-Shannon-Abtasttheorem>

vollständig zu erfassen. Je nach Bustyp und Informationsfluss kann das bereits herausfordernd werden. Während UART-Signale typischerweise bei 115.000 Baud liegen (Baud ist im Gegensatz zur SPI-Taktfrequenz in MHz die Datenübertragungsrate, da es bei asynchronen Schnittstellen kein getaktetes Clock-Signal gibt – bei 115.200 Baud ist die höchste vorkommende Frequenz 115.200 Hz, also 115,2 kHz) und damit bei einer Abtastfrequenz von 500 kHz bereits »oversampled« sind, können SPI-Signale durchaus 20 MHz bis 80 MHz erreichen.

Manche Bausteine erlauben es allerdings, den Datendurchsatz zu erhöhen, indem aus einem Input-Pin ein Output-Pin wird.

1.4.6 Raspberry Pi als Universaltool

Der kostengünstige Raspberry Pi-Einplatinencomputer ist durchaus leistungsfähig und kann das Labor um einige Funktionen erweitern. So können Sie die Anschaffung von zusätzlichen Tools umgehen und gleichzeitig die elektronischen Kenntnisse testen bzw. erweitern.

Der Raspberry kann eingesetzt werden als:

- **SPI-Programmierer:** Statt eines Shikra- oder eines ähnlichen Programmierers kann der Raspberry durch seine Ausstattung SPI-Chips lesen und schreiben.
- **JTAG-Debugger:** Mit etwas Installationsaufwand kann der Raspberry mit OpenOCD als JTAG-Debugger verwendet werden.
- **SWD-Debugger:** Ebenso kann der Raspberry als SWD-Debugger verwendet werden.
- **I2C-Tester/-Injector:** Der Raspberry besitzt einen zugänglichen I2C-Port und kann so Speicher und Sensoren ansprechen. Er kann jedoch nur als I2C-Master agieren, nicht als Slave.
- **UART-/serielle Konsole:** Durch die zugänglichen UART-Pins kann der Raspberry auch als serielles Terminal verwendet werden.
- **Bluetooth-/LE-Sniffer und Interface:** Manche Versionen des Raspberry besitzen bereits einen Bluetooth-Chip onboard und können so für manche Bluetooth-Angriffe verwendet werden.

Der Raspberry ist also – korrekt konfiguriert – ein durchaus leistungsfähiger Helfer im Hardware-/IoT-Bereich.

Wir empfehlen die Durchführung dieser Vorbereitungsarbeiten, um bereits ein gewisses Gefühl für Hardware Testing und den Raspberry Pi zu bekommen.

SPI-basierte Bausteine – flashrom

Um SPI-Flash Bausteine auszulesen, müssen Sie auf dem Raspberry Pi zunächst SPI aktivieren. Verwenden Sie das Betriebssystem Raspbian, können Sie dies mittels der Einstellungs-GUI durchführen.

Wählen Sie hierzu den Menüeintrag **EINSTELLUNGEN | RASPBERRY-PI-KONFIGURATION** aus.

Wechseln Sie auf die Registerkarte **SCHNITTSTELLEN** und aktivieren Sie **SPI**. Sie können auch zusätzlich **I2C** und **SERIAL PORT** anschalten. Dies ist für spätere Beispiele nützlich.

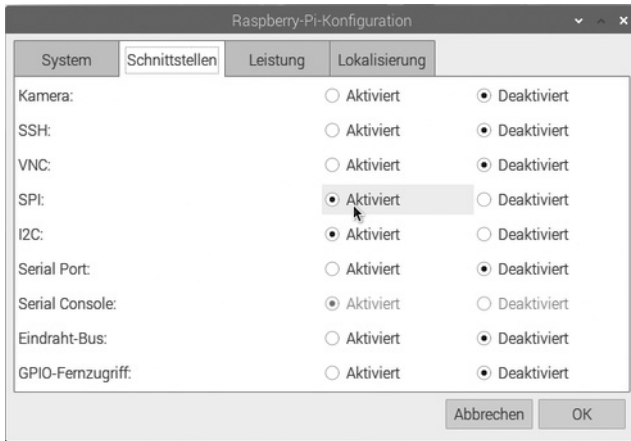


Abb. 1.17: Aktivieren Sie die entsprechenden Bausteine: I2C, SPI und eventuell den seriellen Port.

Mit dem Kommando

```
sudo apt install flashrom
```

können Sie nun das Programm »flashrom« installieren. Dieses Programm wird benötigt, um Speicherbausteine (ROM, Flash etc.) auszulesen oder zu schreiben.

Verdrahtung

Um mit dem Raspberry nun einen Flash-Speicher (unabhängig davon, mit welcher Schnittstelle dieser ausgestattet ist – SPI, I2C etc.) zu lesen oder zu schreiben, muss der Raspberry mit dem Speicher verbunden und der Speicher muss natürlich mit Spannung versorgt werden.

Vorsicht!

Sämtliche GPIO-Pins am Raspberry Pi sind mit 3,3 V zu beschalten! Benötigen Sie andere Spannungslevel, müssen Sie einen Level-Konverter verwenden!

Mit dem Tool »pinout« können Sie die aktuelle Pin-Konfiguration des Raspberry abfragen. Dabei werden jedoch SPI-Pins als GPIO-Pins angezeigt.

```

pi@raspberrypi:~ $ umount /dev/sda2
pi@raspberrypi:~ $ pinout
-----
00000000000000000000 J8
10000000000000000000
-----
Pi Model 3B V1.2
-----
+-----+
| D | SoC |
| S |   |
| I |   |
+-----+
-----
pwr  | HDMI | | C | | S | | I | | A |
      |     | | I | | S | | I | | A |
      |     | | V | | V |
-----
Revision      : a52082
SoC           : BCM2837
RAM           : 1024Mb
Storage       : MicroSD
USB ports     : 4 (excluding power)
Ethernet ports : 1
Wi-fi        : True
Bluetooth     : True
Camera ports (CSI) : 1
Display ports (DSI): 1

J8:
 3V3 (1) (2) 5V
GPIO2 (3) (4) 5V
GPIO3 (5) (6) GND
GPIO4 (7) (8) GPIO14
  GND (9) (10) GPIO15
GPIO17 (11) (12) GPIO18
GPIO27 (13) (14) GND
GPIO22 (15) (16) GPIO23
 3V3 (17) (18) GPIO24
GPIO10 (19) (20) GND
GPIO9 (21) (22) GPIO25
GPIO11 (23) (24) GPIO8
  GND (25) (26) GPIO7
GPIO0 (27) (28) GPIO1
GPIO5 (29) (30) GND
GPIO6 (31) (32) GPIO12
GPIO13 (33) (34) GND
GPIO19 (35) (36) GPIO16
GPIO26 (37) (38) GPIO20
  GND (39) (40) GPIO21

For further information, please refer to https://pinout.xyz/
pi@raspberrypi:~ $ █

```

Abb. 1.18: Ausgabe von pinout auf einem Raspberry Pi 3B

In folgender Tabelle sind die SPI-Pins bzw. die für flashrom benötigten Pins am Raspberry Pi aufgelistet:

RPI-Pin	Bezeichnung	Beschreibung/Verbindung
17	+3.3V VCC	Versorgungsspannung 3,3 V. Wenn benötigt, an VCC des Flash-Speichers.
19	MOSI	Master Out, Slave Input: Daten vom Master (Raspberry) an den Slave (Flash-Chip). Wird an den DI- oder SI-Pin des Speichers angeschlossen.
21	MISO	Master In, Slave Out: Daten von Slave an den Master. Wird an den DO- oder SO-Pin des Speichers angeschlossen.
23	SCLK	Clock: Takt, wird an CLK oder SCLK des Speichers angeschlossen.
24	SPI0 CE0	Chip Enable/Chip Select: Dieser Pin wird bei SPI verwendet, um den angesprochenen Teilnehmer zu adressieren. Wird an CS des Speichers angeschlossen.
25	GND	Ground: Muss mit dem GND des Speichers verbunden werden, um ein gemeinsames Massepotenzial zu schaffen.

Im Gegensatz zu den JTAG-/SWD-Pins sind diese Pins *nicht* veränderbar.

Raspberry Pi GPIO BCM numbering

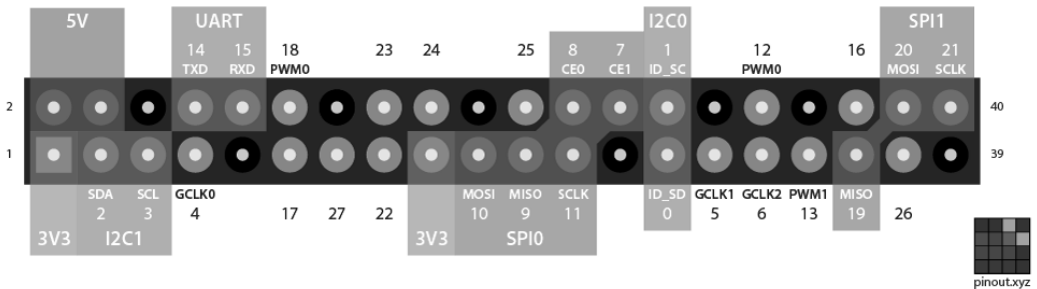


Abb. 1.19: Raspberry Pi-Pin-out (Quelle: <https://github.com/gadgetoid/Pinout.xyz>)

Zur Verkabelung empfehlen wir SMD-Klemmen, wenn keine Stift- oder Sockelleisten mit den benötigten Pins verfügbar sind, SOIC-Klemmen bei Chips oder eine direkte Verlotung von Testkabeln an Löt-/Prüfpunkten der Platine.

Ein Beispiel hierzu finden Sie in Abschnitt 4.4.5.

Raspberry als SWD-/JTAG-Adapter

Um den Raspberry als JTAG- oder SWD-Adapter nutzen zu können, müssen Sie zunächst die Software OpenOCD installieren. Dies kann aus den Paketquellen erfolgen, besser ist es jedoch, die aktuellste Version selbst zu kompilieren. Dazu müssen Sie zunächst die Build-Essentials installieren und dann den OpenOCD-Quellcode vom entsprechenden Git-Repository laden und kompilieren.

OpenOCD via apt installieren:

```
sudo apt install openocd
```

OpenOCD direkt aus dem Quellcode erstellen:

```
sudo apt-get update
sudo apt-get install git autoconf libtool make pkg-config libusb-1.0-0
libusb-1.0-0-dev
git clone http://openocd.zylin.com/openocd
cd openocd-code
./bootstrap
./configure --enable-sysfsgpio --enable-bcm2835gpio
make
sudo make install
```

Dieser Vorgang benötigt ca. 20 Minuten auf einem Raspberry Pi 3, danach ist OpenOCD in der aktuellen Version kompiliert und installiert.

OpenOCD arbeitet hauptsächlich mit Konfigurationsdateien, im Normalfall sollte eine Konfigurationsdatei für den Adapter (in diesem Fall den Raspberry) und eine für das Target angegeben werden (IC, zu dem die Verbindung aufgebaut werden soll).

Die Konfigurationsdateien für die Adapter finden Sie unter:

```
/usr/local/share/openocd/scripts/interface/
```

Für den Raspberry wird die Konfigurationsdatei `raspberrypi2-native.cfg` verwendet (diese funktioniert auch für das Modell 3).

Die Konfigurationsdateien für die Targets finden Sie unter:

```
/usr/local/share/openocd/scripts/target/
```

Ist das gewünschte Ziel nicht enthalten, lohnt es sich oft, öffentliche Git-Repositories zu durchsuchen.

Konfiguration anpassen

Die Standardkonfiguration für den Raspberry verwendet Ports, die auch gleichzeitig anderweitig genutzt werden könnten. Daher sollten Sie die Konfiguration ändern.

Vorsicht!

Die Nummer der GPIO-Pins entspricht nicht der physikalischen Pin-Nummer (siehe hierzu Abbildung 1.19).

Die wichtigen Zeilen in der Konfiguration sind die Zeilen 3 und 7 im folgenden Listing:

```
# Each of the JTAG lines need a gpio number set: tck tms tdi tdo
# Header pin numbers: 23 22 19 21
bcm2835gpio_jtag_nums 11 25 10 9
# Each of the SWD lines need a gpio number set: swclk swdio
# Header pin numbers: 23 22
bcm2835gpio_swd_nums 11 25
```

Ändern Sie diese wie folgt (legen Sie dazu eine Kopie in einem lokalen Verzeichnis an):

```
# #old# bcm2835gpio_jtag_nums 11 25 10 9
bcm2835gpio_jtag_nums 4 22 23 24
[...]
# #old# bcm2835gpio_swd_nums 11 25
bcm2835gpio_swd_nums 23 24
```

Somit bleiben die Pins für SPI und UART frei. Außerdem sind so die Pins für JTAG und SWD »geshared«, man benötigt also insgesamt weniger Pins und kann mit einem Kabel für SWD und JTAG arbeiten.

1.4.7 Abgreifklemmen und Adapter

Abgreifklemmen gibt es in verschiedenen Ausführungen zu verschiedenen Zwecken. So gibt es die Elektrotechnik-Abgreifklemmen mit 4-mm-Bananensteckeranschluss. Diese sind geeignet, um ein Gerät mit Strom zu versorgen, solange es nicht mehr als 2A bezieht.

Außerdem gibt es SMD-Klemmen in verschiedenen Ausführungen, die dazu geeignet sind, SMD-Bausteine abzugreifen. Zur Versorgung eignen sie sich aufgrund der geringen Belastbarkeit nicht, es sei denn, es handelt sich um ein Gerät mit äußerst niedrigem Energiebedarf.



Abb. 1.20: Verschiedene Messklemmen

Bei SOIC-/SMD-Bausteinen kann dieses Abgreifen bereits zu einer sehr anstrengenden Feinarbeit ausufern, wie Abbildung 1.21 zeigt. Hier muss besonders darauf geachtet werden, dass keinerlei Kurzschluss entsteht. Außerdem sind diese Verbindungen meistens nicht sehr stabil und führen oft aus Platzgründen zu wackeligen Verbindungen.

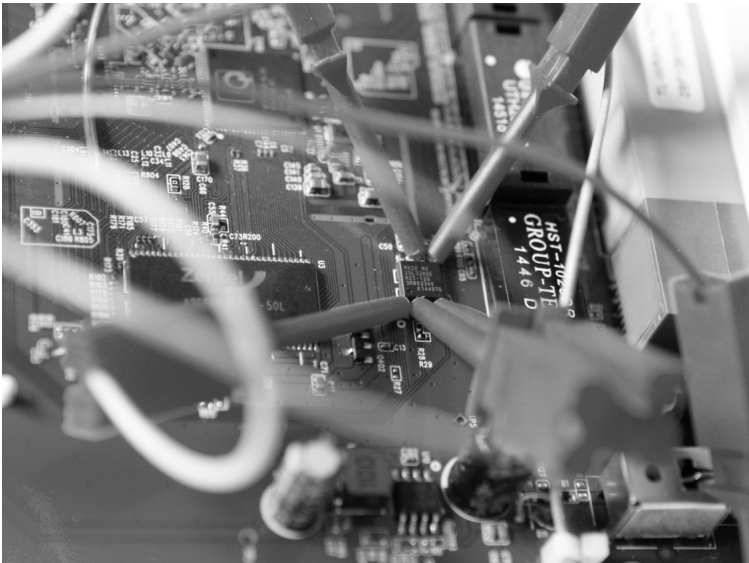


Abb. 1.21: Abgreifen mit SMD-Klemmen – nicht immer einfach

Bei achtpoligen ICs ist dieses Vorgehen gerade noch durchführbar, darüber sollten Sie auf SOIC-Adapter ausweichen. Diese Klemmen greifen den gesamten IC-Bau-stein *In-Circuit* ab (also aufgelötet, während er sich in dem Schaltkreis befindet) und bieten Anschlüsse für den Logic Analyzer oder den SPI-Adapter.

Der SOIC-Adapter wird auf den Chip geklemmt – je nach Ausführung ist er mit oder ohne Verkabelung zu haben. Die verlötete Verkabelung bietet einen besseren Kontakt, sofern sie korrekt durchgeführt wurde.

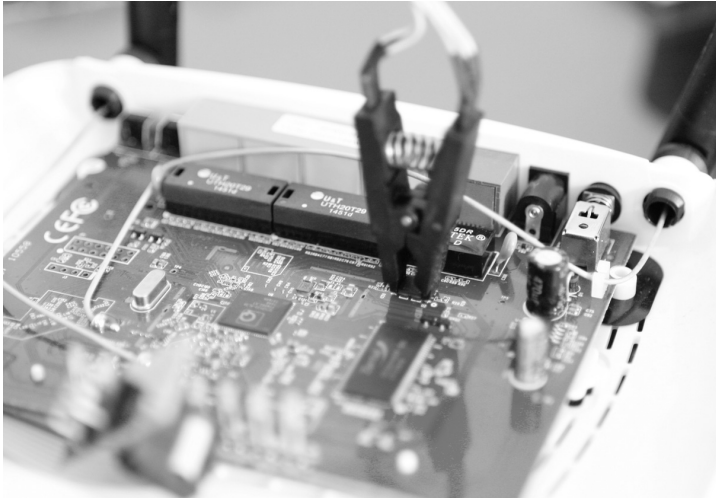


Abb. 1.22: Besser: mit dem SOIC-Adapter den Chip direkt abgreifen

Auf dem Markt erhältlich sind Sets für verschiedenste Größen und Ausführungen. Die SOIC-Ausführung ist durchaus gängig – in der Regel sind achtpolige Adapter am häufigsten zu verwenden. Sie müssen sich zu Beginn also kein ganzes Set anschaffen, wie in Abbildung 1.23 gezeigt.

Wichtig!

Die SOIC-Adapter funktionieren nur, wenn der IC komplett eingelötet ist. Wird eine Verbindung unterbrochen, wie im Beispiel in Abschnitt 4.4.5 »SPI«, lässt sich der Adapter oft nur schwer anbringen. In diesem Fall sind SMD-Klemmen besser geeignet.

Vorsicht!

Verbinden Sie niemals VS(S) oder VD(D) (positive Spannungsversorgung), wenn das Gerät, auf dem sich der IC befindet, unter Spannung ist, mit den Versorgungspins des Raspberry oder des Adapters!



Abb. 1.23: SOIC-Klemmenset – für Ambitionierte

Stichwortverzeichnis

0- Ω -Widerstand 62

32-Bit-Controller 98

8-Bit-Mikrocontroller 96

A

Abgreifklemmen 41

Abtasttheorem von Nyquist-Shannon 35

Advertisement Channel 170

Aktuator 71

All-in-One-SoC 70, 100

Amazon Web Service (AWS) 236

Android Embedded Devices 99

APK 51

Application Framework 196

Application Support Sub-Layer 196

B

Backdoor 157, 159

Baud 36

Baudrate 116

Bausteinverblendung 89

BGA 68

Bindshell 157, 159

Binvis 139

Binwalk 139

BlackBox-Analyse 46, 126

8-Bit-Controller 98

Bluebugging 180

Bluejacking 180

Bluesnarfung 179

Bluesniffing 180

Bluetooth Low Energy 167

Fuzzing 193

Pairing 171

Protokoll-Stack 168

Sicherheit 178

Bluetooth-Sniffer 36

Bluetooth-Stack *siehe* BT-Stack

Broker 205

BtleJuice 190

BT-Stack 96

Bussystem 74

busybox 153

C

Canary 46

CE *siehe* Chip Enable

Chip Enable 74

Chip Select 74

Compliance 20

Compressed ROM File System 134

CONNACK 211, 214

CONNECT 211, 212

Controller 67

Controller mit Funkbaustein 97

Coordinator 197

CPIO 143

cpio 141

Crackle 192

CramFS 134

CS *siehe* Chip Select

D

Datenblatt 79

Diode 66

DIP/DIL 68

DISCONNECT 211

Diskrete Bauelemente 62

DSGVO 46

Dynamische App-Analyse 224

E

Elektrische Spannung 30

Entropie

Binärdatei 138

Checks 138

Epoxyd-Harz 91

F

FCC-ID 48

firmwalker 149

Firmware 131, 158

dynamische Analyse 154

Emulation 150

Extraktion 105

Image entpacken 138

Manipulation 157

manuelle Analyse 147
 statische Firmware-Analyse 145
 firmware-analysis-toolkit 151
 firmware-mod-kit 160
 Fixed Header 211
 Flash 127
 flashrom 36, 123
 benötigte Pins 38
 Flash-Speicher extrahieren 109

G

Galvanische Trennung 26
 GATT 176
 Gattacker 185
 Gehäuse
 Tamper Protection 84
 Generic Access Profile 168
 Generic Attribute Profile 169
 Glasfaserradierstift 104
 GND 30
 Google Cloud Service 237
 Gradle 52
 Ground 30
 GSM 127
 GTKTerm 118

H

Hardware, Design 95

I

I2C 50, 75
 I2C-Tester 36
 IC 67
 IC, Typen 68
 iMazing 220
 In-Circuit 43
 Induktivität 65
 Infrastructure as a Service (IaaS) 234
 Integrierter Schaltkreis *siehe* IC
 Internal Photos 49
 IoT-Referenzarchitekturen 164

J

jadx 51
 JFFS 133
 JFFS2 143
 JFFS/JFFS2 133
 J-Link 109
 Joint Test Action Group *siehe* JTAG
 Journaling Flash File System 133
 JTAG 106
 JTAG-Adapter 39

JTAG-Debugger 36
 JTagulator 106

K

Killerbee 201
 Kondensator 63

L

Labornetzgerät 26
 Layout 79
 LE-Sniffer 36
 Level-Konverter 72
 LGA 68
 Link Key 199
 Linux-Distribution Kali 32
 LogFS 135
 Logic Analyzer 32
 Logik-Gatter 66
 Lötstopplack 104
 LSB first 74
 LTE 127
 LZMA 141

M

M2M 205
 Masse 30
 Mass-Erase 105
 MASVS 218
 Memory Technology Device *siehe* MTD
 Metallblenden 90
 Microsoft Azure 235
 Mikrocontroller 69
 MISO 74
 MOSI 74
 MQTT 205
 Last Will and Testament 210
 Quality of Service 209
 Retained Messages 209
 MQTT Control Packet Typ 211
 MSB first 74
 MTD 120
 Multimeter 29

N

Network Key 199
 Netzspannung 27
 NTFS 134

O

Obfuscation 51
 OE *siehe* Output Enabled
 Open Source Intelligence *siehe* OSINT

- OpenOCD 39, 111
- Operations-Security 55
- OSINT 45
 - Findings dokumentieren 50
- Oszilloskop 32
- OTA-Update *siehe* Over-the-Air-Update
- Output Enabled 73
- Over-the-Air-Update 107
- OWASP IoT Top 10 12

- P**
- PCB 67
- PFS 134
- PGA 68
- Philips Hue 201
- PINGREQ 211
- PINGRESP 211
- pinout 37
- Platform as a Service (PaaS) 234
- PLIST 229
- Proof-of-Concept-Exploits 20
- Protokolle 163
- PUBACK 211
- PUBCOMP 211
- PUBLISH 211, 215
- Publisher 205
- Publish-Subscribe-Architektur 205
- PUBREC 211
- PUBREL 211
- Pull-down-Widerstand 92
- Pull-up-Widerstand 92
- pulseview 33

- R**
- Raspberry Pi-Einplatinencomputer 36
- Read Protection 97
- Read-out-Protection 105
- Replay-Angriffe 200
- Reporting 22
- Responsible Disclosure 58
- RFS 135
- romFS 134
- Router 197
- RX 76

- S**
- Saleae Logic Analyzer 116
- Schaltplan 78
- Schnittstelle 74
- Schutzlack 104
- Schutzsiegel 87
- SCL 76
- SCLK 74
- Scope 20
- Scoping 19
- SDA 76
- Security Manager 169
- Segger J-Link 109
- Sensor 71
- Serial Peripheral Interface *siehe* SPI
- Serial Wire Debug *siehe* SWD
- Serielle Konsole 36, 114
- Serielle Schnittstelle 76
- Shikra 106
- Shodan 55
- sigrok 33
- Slave Select 74
- SmartDevices 99
- SMD-Bausteine 42
- SMD-Package 68
- SoC 67, 69
- Software as a Service (SaaS) 234
- SOIC-Bausteine 42
- Spannung
 - ablesen 28
 - berechnen 28
 - messen 29
- Spannungswandler 70
- Speicher 71
- SPI 74, 123
- SPI-Programmierer 36
- Spule 65
- sqlite 231
- SquashFS 133, 143
- SS *siehe* Slave Select
- Staging-Eintrag 53
- Statische App-Analyse 222
- strings 146
- SUBACK 211
- SUBSCRIBE 211, 216
- Subscriber 205
- Supply-Chain-Angriff 87
- SWD 50, 107
- SWD-Adapter 39
- SWDCLK 107
- SWD-Debugger 36
- SWDIO 107
- SWDO 107
- Symmetric-Key Key Establishment Protocol 200

- T**
- Tamper Detection 83, 88
- Tamper Evidence 83
- Tamper Prevention 83

Tamper Protection 50, 83
 Gehäuse 84
Tamper Response 83
TAP 106
Test Access Port *siehe* TAP
Testmethodik
 BlackBox 19, 46
 GreyBox 19
 WhiteBox 19
Testtiefe 19
Testziele 20
TExFAT 135
TFAT 135
TFS4 135
Threat-Modell 84
Topics 206
Transistor 66
Transparente Netzwerk-Bridge 226
TrueFFS 135
TTL-Level 73
TX 76

U

UART 50, 76, 114
UART-Konsole 36
Ubetooth One 181
UbiFS 134

UICR 114
Universal Asynchronous Receiver Transmitter *siehe* UART
UNSUBACK 211
UNSUBSCRIBE 211
USB 50, 122
User Information Configuration Register
 siehe UICR

V

Variable Header 212
VFat 134

W

White-Lable-Produkt 47
Widerstand 62
Widerstandsmessung 31

Y

YAFFS 134
Yet Another Flash File System 134

Z

Zigbee 195
 Protokoll-Stack 195
 Schwachstellen 200